

## **POSEBEN TIP MEŽIŠKEGA SVINČEVO CINKOVEGA ORUDENENJA V RUDIŠČU GRABEN**

*Ivo Štruc*

S 3 slikami med tekstrom in z 9 tablami slik v prilogi

Predavanje na I. posvetovanju o geologiji Karavank v Črni na Koroškem  
dne 18. maja 1967

Grabensko rudišče se razprostira od zahoda proti vzhodu med Ostrčnjkovim vrhom (812 m) in Ovčjim vrhom (955 m). Od izbiralnice v Žerjavu je oddaljeno 500 m. Doslej raziskana površina znaša približno 0,6 km<sup>2</sup>. Možnosti širjenja revirja so proti vzhodu in v globino, kjer je najgloblje ugotovljena ruda na koti +261 m, to je 131 m pod najnižjim, trinajsttim obzorjem (+392 m).

Grabenski revir se je v zadnjih letih razvil v enega najbolje organiziranih in mehaniziranih obratov mežiškega rudnika. Proizvodnja v letu 1967 je znašala 125 798 ton z 1,5 % Pb in 4 % Zn, kar predstavlja 25 % celotne rudniške proizvodnje rude. Rudo odkopavajo med petim (592 m) in trinajsttim obzorjem.

Zaradi topilniških plinov je ozemlje nad rudiščem precej razkrito. Prsesekano je z dvema grapama, s Smrtnim dolom in Kavšakovo grapo. Vzhodni del pokrivajo izbiralniška jalovišča, v zahodnem delu pa so številni stari rovi iz prejšnjih stoletij. Pobočja so zelo strma in večidel skalnata (sl. 1).

### **Stratigrafske in petrografske značilnosti rudišča**

Ozemlje grabenskega revirja sestavlja:

1. grebenski apnenec in dolomitizirani grebenski apnenec,
2. apnenčeva in apnenčeve dolomitna breča,
3. glinasti skrilavec,
4. dolomit s sadro in anhidritom,
5. dolomit z organsko substanco in markazitom,
6. bituminozni dolomit.

Grebenski apnenec in dolomitizirani grebenski apnenec se razprostirata v pasu, dolgem 1,5 km in širokem okrog 200 m med Mošenikom in Kavš-



Sl. 1. Severna pobočja Kavšakovega grebena z Aninim rovom (+ 710 m) in Danijelovim rovom (699 m). 1 Noriški dolomit, 2 Skrilavec in apnenec karnijske stopnje, 3 Ladinski grebenski dolomitizirani apnenec, 4 Bituminozni dolomit (starost ?), 5 Ladinski apnenec in dolomit

Abb. 1. Die nördlichen Abhängen des Kavšakkammes mit dem Anastollen (+ 710 m) und dem Danielstollen (699 m). 1 Norischer Dolomit, 2 Tonschiefer und Kalk der karnischen Stufe, 3 Ladinischer dolomitisierter Riffkalk, 4 Bituminöser Dolomit (Alter unbekannt), 5 Ladinischer Kalk und Dolomit

kovo grapo. V zahodnem delu prevladuje apnenec, v vzhodnem delu — v območju grabenskega vpadnika — pa dolomitizirani apnenec.

Grobelšek (1967) je preiskala večje število zbruskov in je ugotovila v glavnem naslednje različke apnencu: sparit, pelsparit, biosparit, pelbiosparit, podrejeno pa tudi mikrit.

Zorc (1955) je grabenski rudonosni dolomit uvrstil v karnijsko stopnjo. Grabensko rudišče je primerjal z rudiščem Kreuth v Avstriji, kjer nastopajo cinkova orudjenja v tako imenovanem vmesnem dolomitru med prvim in drugim rabeljskim skrilavcem. Novejše paleontološke preiskave pa so pokazale, da pripada rudonosni dolomit grabenskega revirja posebni faciji ladinske stopnje. V apnencu in tudi v dolomitiziranem apnencu so mnoge dobro ohranjene korale. Iz nahajališča na 8. obzorju (tab. I, sl. 1) v baloškem rovu je *Kolosvary* določil koralo *Thecosmilia badiotica* Volz, ki je živila v ladinski stopnji. V baloškem rovu je tudi nahajališče z gastropodi, ki so zelo podobni vrsti *Chemnitzia rosthorni*. Razen koral so v apnencu še ostanki briozojev, gastropodov in ehinodermov. Fosilni ostanki so običajno močno prekristalizirani. Dolomitizirani apnenec je v glavnem brečast in drobljiv, kjer je pa prepreden s sfaleritnimi žilicami, je zelo žilav. V obrobnih delih rudnega telesa je dolomitizirani apnenec precej marogast. Marogast videz mu dajejo različno debele

žile mlečno belega in zrnatega dolomita, ki prepletajo svetlo rjavo kamenino. V tabeli 1 so podatki povprečnih vrednosti kemičnih analiz primarnega koralnega apnенца, dolomitiziranega koralnega apnенца in belega zrnatega dolomita.

### KEMIČNA ANALIZA GREBENSKEGA APNENCA IN DOLOMITIZIRANEGA GREBENSKEGA APNENCA

### CHEMISCHE ANALYSEN DES RIFFKALKES UND DOLOMITISIERTEN RIFFKALKES

Tabela 1

Tabelle 1

	Stevilo					
	analiz Zahl der An.	CaMg(CO <sub>3</sub> ) <sub>2</sub> %	CaCO <sub>3</sub> %	SiO <sub>2</sub> %	Pb %	Zn %
Grebenski apnenec Riffkalk	10	9,80	89,99	0,16	--	--
Dolomitizirani greb. apnenec Dolomitisierte Riffkalk	8	85,06	14,40	0,25	0,03	0,05
Beli debelozrnati dolomit Weisser, grobkörniger Dolomit	1	85,30	14,20	0,14	--	--

SiO<sub>2</sub> se pojavlja v dolomitiziranem apnenu v obliki ostrorobih zrn, velikih 0,05 do 0,5 mm. Zanimivo je, da v apnenu ni svinca niti cinka, kar vodi k sklepnu, da je mineralizacija v grebenskih kameninah tesno povezana s procesom dolomitizacije.

Breča zavzema v grabenskem rudišču precejšnje površine. Delno je tektonska, v glavnem pa je nastala že v morju. To je tako imenovana »slumping« breča, ki je nastala pri podvodnem drsenju plastičnih nekonsolidiranih sedimentov po nagnjenem morskom dnu. Zaradi drsenja so odlomki deloma zaobljeni. Breča se pojavlja v določenem stratigrafskem nivoju, in sicer predstavlja vmesni člen med grebenskimi kameninami in bituminoznim dolomitom. Nastala je iz zelo heterogenih sedimentov, glinastega skrilavca, apnena in dolomita, ponekod pa vsebuje tudi odlomke ali vložke sadre in anhidrita, ali pa dolomit s sadro in anhidritom.

Ponekod ta breča manjka, tam je heterogena serija kolikor toliko ohranjena, toda kljub temu ni mogoče določiti zaporedja plasti, zakaj niti v enem rovu ne najdemo podobnih stratigrafskih ali petrografskih razmer. Navadno se menjavajo v rovih odseki glinastega skrilavca, dolomita in breče, široki 1 do 5 m. Dolomit vsebuje ponekod mnogo sadre in anhidrita. Skrilavec in dolomit sta med seboj navadno v tektonskem kontaktu. V skrilavcu, ki je vedno zdrobljen, najdemo apnenčeve piritne konkrekcije, zdrobljene pole dolomita in apnena ter vložke sadre in anhidrita. Razen v kontaktni coni med grebenskimi kameninami in bituminoznim dolomitom nastopata breča in glinasti skrilavec tudi v dolomitu, ki sestavlja vzhodni del rudišča. V bližini tega skrilavca (navadno prav ob kon-

taktu) najdemo pogoste bogate koncentracije svinčeve in cinkove rude ali bogate koncentracije markazita z manjšimi količinami sfalerita in galenita.

Dolomit je sivkast in sivkasto rjav in ponekod rahlo bituminozen. V bližini orudnenej je prekristaliziran. Manj spremenjen dolomit vsebuje precej glinaste in bituminozne snovi. V njem je razpršen tudi markazit. Nastal je v evksinskem okolju. Njegov stratigrafski položaj je še dokaj nejasen. Možno je, da je lagunski ekvivalent koralnega apnence ali pa je mlajši.

Severni del revirja sestavlja bituminozni apnenčev dolomit. Bitumena je v njem sorazmerno malo, kljub temu pa daje ob udarcu s kladivom značilen vonj; v tabeli 2 so podatki kemične analize.

### KEMIČNE ANALIZE BITUMINOZNEGA DOLOMITA CHEMISCHE ANALYSEN DES BITUMINÖSEN DOLOMITES

Tabela 2

Tabelle 2

	CaMg(CO <sub>3</sub> ) <sub>2</sub> %	CaCO <sub>3</sub> %	SiO <sub>2</sub> %	Fe %	S %	bitumen %
temno siv dolomit	86,20	13,10	0,20	0,06	0,10	0,67
sivo rjav dolomit	76,42	33,07	0,20	0,05	0,06	0,08
temno siv do črn dolomit	58,80	13,30	0,14	0,03	0,09	0,09

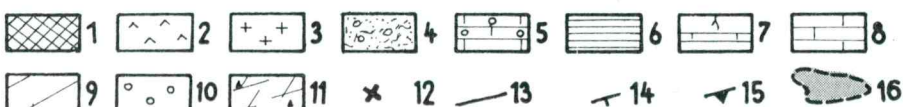
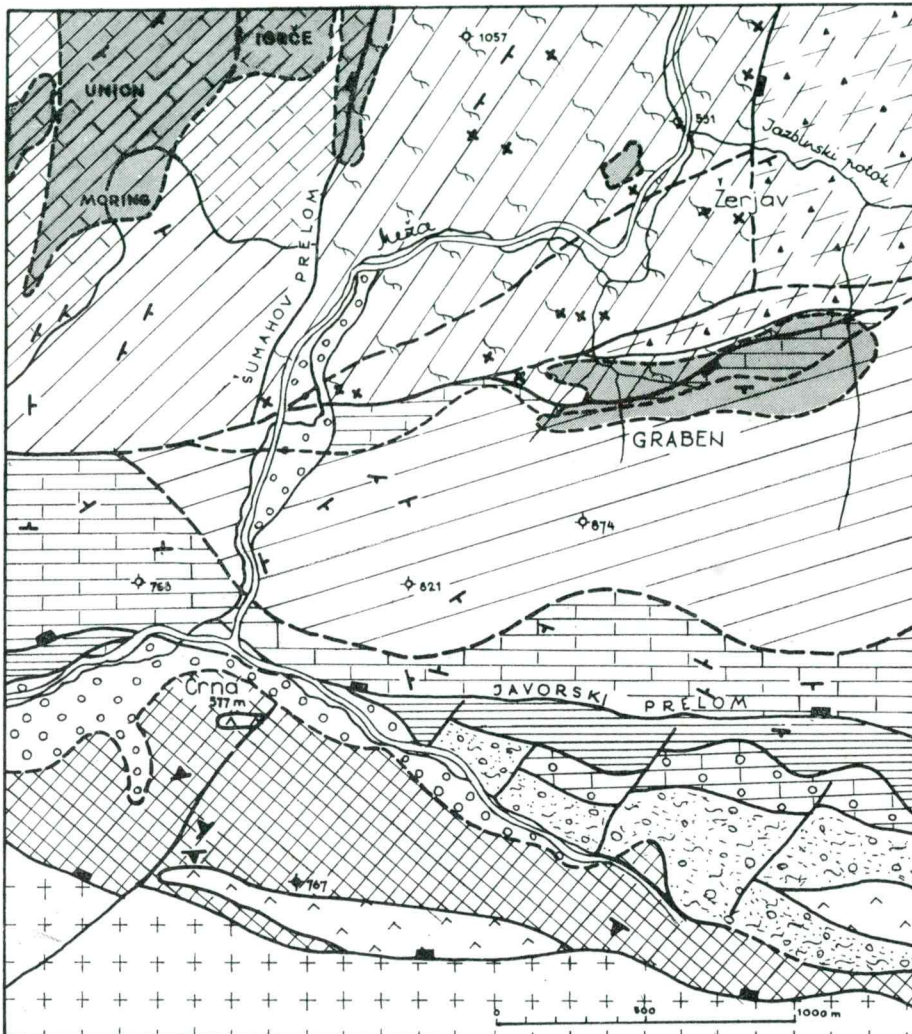
V bituminoznem dolomitu nismo našli svinca niti cinka. Njegovo starost je zelo težko ugotoviti; za zdaj še ne vemo, ali gre za ladinski ali noriški dolomit.

Na jugu meji grebenski dolomitizirani apnenec na cono glinastega skrilavca in apnenca karnijske stopnje, široko nekaj deset metrov. Od rabeljskega skrilavca centralnih revirjev mežiškega rudnika in drugih delov Karavank se ta skrilavec precej razlikuje, manjkajo značilne oolitne plasti in je zelo drobljiv. Ni izključeno, da gre za skrilavec ladinske stopnje in bi ga torej lahko obravnavali kot ekvivalent partnaških skladov. Potrebne so še posebne podrobne mikropaleontološke in petrografske obdelave, ker makrofosilov doslej nismo našli.

### Tektonika

Zaradi zamotanih stratigrafskih razmer, predvsem glede starosti bituminoznega dolomita, ki gradi območje severno in severovzhodno od grebенskega rudišča, je tudi v tektonski interpretaciji tega ozemlja nekaj nerešenih problemov.

Grabensko rudišče leži v območju velikih tektonskih dislokacij (sl. 2). Najpomembnejši so javorski, Navršnikov, Šumahov in Ladinkov prelom. Prva dva imata alpsko, druga dva pa prečno alpsko smer. Javorski prelom poteka približno 1 km južno od rudišča, toda tektonski procesi vzdolž njega so močno vplivali na oblikovanje zgradbe rudišča in njegove okolice. Ob tem prelomu se stikajo spodnjjetriadne in srednjjetriadne kamenine z zgornjetriadnimi apnenci in dolomiti karnijske ter noriške stopnje, ki so nagubani v močno dislocirano sinklinalo. Severno krilo te sinklinale



Sl. 2. Tektonska skica okolice revirja Graben

Abb. 2. Tektonische Skizze der Umgebung des Graben-Reviers

1 Paleozojski metamorfni skrilavec; 2 Diabaz; 3 Granodiorit; 4 Werfener Schichten; 5 Anisische Kalke; 6 Partnach Schichten (Ladin); 7 Wettersteindolomit und W-Kalk (Ladin); 8 Raibler Schichten (Karn); 9 Dolomit (Nor); 10 Alluviale Ablagerung; 11 Bituminöser Dolomit (Alter unbekannt, wahrscheinlich Nor); 12 Ausbisse von Pb-Zn Vererzungen; 13 Verwerfungen; 14 Schichtung; 15 Schieferung; 16 Untertage Pb-Zn Vererzungen

1 Paläozoischer Schiefer; 2 Diabas; 3 Granodiorit; 4 Werfener Schichten; 5 Anisische Kalke; 6 Partnach Schichten (Ladin); 7 Wettersteindolomit und W-Kalk (Ladin); 8 Raibler Schichten (Karn); 9 Dolomit (Nor); 10 Alluviale Ablagerung; 11 Bituminöser Dolomit (Alter unbekannt, wahrscheinlich Nor); 12 Ausbisse von Pb-Zn Vererzungen; 13 Verwerfungen; 14 Schichtung; 15 Schieferung; 16 Untertage Pb-Zn Vererzungen

se končuje ob dislokaciji, ki grabensko rudišče omejuje proti jugu. To dislokacijo karakterizira nekaj deset metrov širok pas z močno zmečkanim skrilavcem. Dislokacija ima smer vzhod—zahod in vpada proti jugu pod kotom 50° do 70°. Presekana je z mlajšimi prečnimi prelomi. Rabeljski apnenec in noriški dolomit severnega krila sinklinale vpadata tudi proti jugu, toda pod precej manjšim kotom (5° do 30°).

Severno od opisane tektonske enote se razteza 80 do 200 m široka cona grebenskega apnencem, ki je s severne in vzhodne strani obdana z brečo, glinastim skrilavcem in dolomitom s sadro in anhidritom. Ker so kontakti med grebенskimi kameninami in brečo navadno tektonski, smo to cono razlagali kot tektonsko cono in brečo kot tektonsko brečo. Vendar je le del breče tektonski, povečini je pa nastala v morju.

S preučevanjem rudnih in nerudnih sedimentov v kontaktni coni med grebенskim apnencem in brečo smo ugotovili reverzno lego teh sedimentov (tab. II, sl. 1). Breča in drugi sedimenti opisane cone so potem takem mlajši od grebенskega apnencem. Teže je ugotoviti starost bituminoznega dolomita na območju severno in severovzhodno od rudišča. Lahko je starejši ali pa mlajši od grebенskih in lagunskih kamenin. Če je mlajši, je verjetno noriške starosti. Prav tako ni jasno, ali je tudi bituminozni dolomit prevrnjen, kar pa je seveda važno za določitev velikosti preloma, ki loči grebенske in lagunske kamenine od bituminoznega dolomita. Če leži normalno, pripada drugi tektonski grudi, če ne, je del skladovnice, kamor spadajo tudi lagunski sedimenti.

Najbolj verjetna se mi zdi razlaga, da so bile grebенske in lagunske kamenine vzdolž reverznega preloma narinjene na bituminozni dolomit (sl. 3).

V spodnjih obzorjih (do 8. obzorja) spremlja prelom 1 m do 3 m široka brečasta cona z glinastim materialom, ki se više vedno bolj zožuje; na 7., 6. in 5. obzoru se pokaže samo še kot strma gladka drsna ploskev brez večjih porušitev. Na teh obzorjih se bituminozni dolomit neposredno stika z grebенskim apnencem.

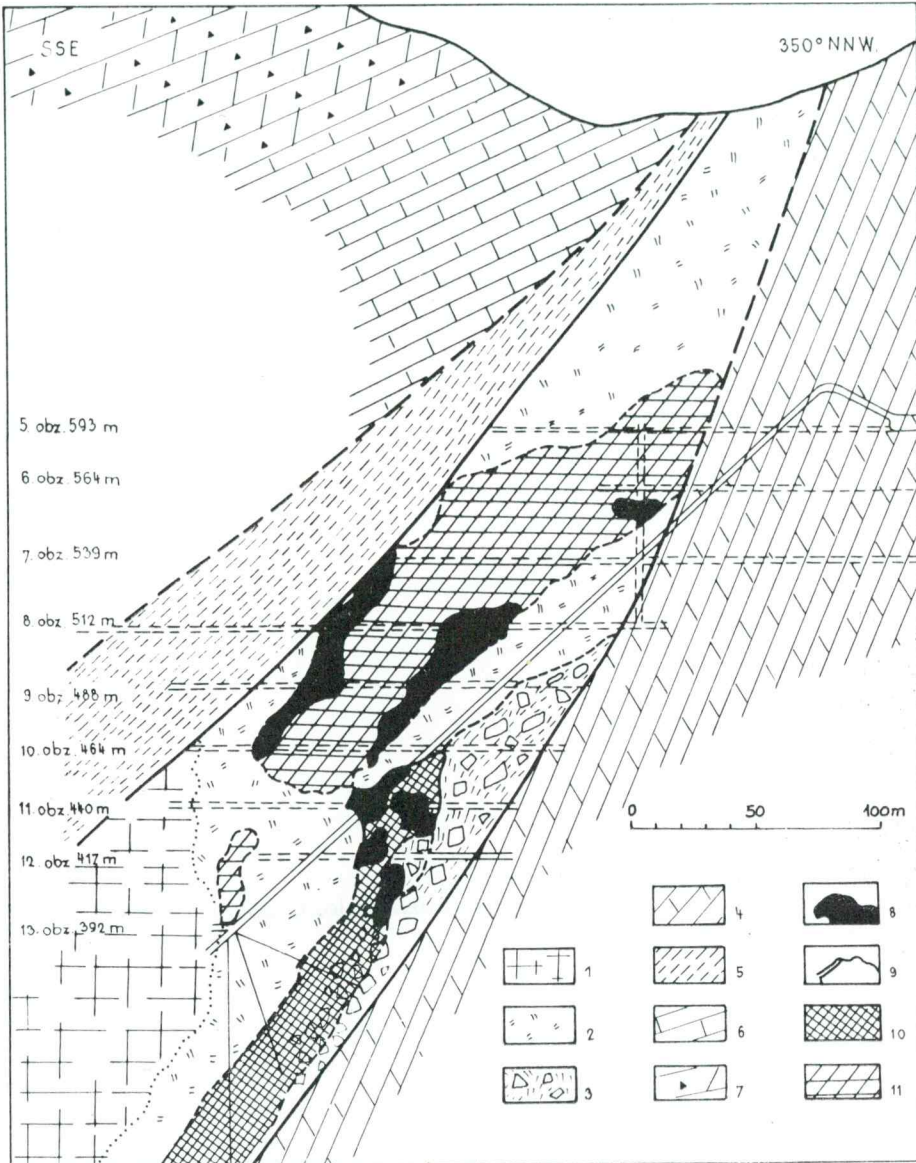
Tektonika je v glavnem porudna. To nam dokazujejo številne drsne ploskve z izglajenimi rudnimi površinami, najbolj pa govore za porudno tektoniko rudni sedimenti, ki ležijo navadno zelo strmo ali celo prevrnjeno. Del orudnenj pa je nedvomno epigenetski ali potecktonski.

### Grabenska ruda

V grabenskem rudišču ločimo tri vrste rude. Med seboj se razlikujejo po prikamenini, mineralni in kemični sestavi ter po količinskem razmerju med svincem in cinkom.

Mineralna sestava je enostavna. Primarni minerali so: galenit, sfalerit, pirit, markazit, dolomit, kremen in kalcit; minerali oksidacijske cone pa so cerusit, anglezit, minij, litargit, masikot, wulfenit, hidrocinkit, smitsnit, greenokit in limonit.

Cinka je povprečno 7 % v oksidni obliki, svinca pa 5 %. V zahodnem delu je stopnja oksidacije večja, predvsem v višjih obzorjih. Tu nastopa cink večidel v oksidni obliki, medtem ko je galenit prepojen z anglezitom



Sl. 3. Profil SSE-NNW ( $350^{\circ}$ ) skozi grabensko rudišče

Abb. 3. Profil SSE-NNW ( $350^{\circ}$ ) durch das Grabenrevier

1 Grebenski apnenec (ladinska stopnja); 2 Dolomitizirani grebenski apnenec; 3 Brečasto evaporitska cona; 4 Dolomit nedoločene starosti (ladinski ali noriški); 5 Rabeljski skrilavec (karnijski); 6 Rabeljski apnenec; 7 Noriški dolomit; 8 Rudno telo v presečni ravniini; 9 Svinčevvo cinkovo orudnenje s sedimentno rudo v talinini; 10 Orudnenje s Pb-Zn (projekcija na presečno ravnino); 11 Orudnenje s Zn (projekcija na presečno ravnino)  
 1 Riffkalk (Ladin); 2 Dolomitisierter Riffkalk; 3 Breccien und Evaporitzone; 4 Dolomit (Alter unbekannt — Ladin oder Nor); 5 Raiblerschiefer (Karn); 6 Raiblerkalk; 7 Hauptdolomit (Nor); 8 Erzkörper in der Profillinie; 9 Pb-Zn Vererzung mit Sedimentterz im Liegenden; 10 Pb-Zn Vererzung (außerhalb der Profillinie); 11 Zn Vererzung (außerhalb der Profillinie)

in cerusitom. Iz te rude je Grafenauer (1959) podrobno preiskal redke svinčeve oksidne minerale minij ( $Pb_3O_4$ ), litargit ( $\alpha PbO$ ) in masikot ( $\beta PbO$ ).

V centralnem delu rudišča, ob transportnem vpadniku, nastopa ruda v glavnem v dolomitiziranem grebenskem apnencu. Ruda je povečini cinkova. Prevladuje svetel, rumenkast, rumenkasto rjav in siv sfalerit, ki vsebuje 0,2 do 0,4 % železa. Sfalerit iz te rude vsebuje več kadmija, toda manj germanija kot rjavi sfalerit vzhodnega dela rudišča. Kadmij se že pri nizki stopnji oksidacije izloča kot greenokit v obliki rumenkasto zelenega oprha. Takšen je bil tudi drugi vzorec iz tabele 3. V njem je bilo samo 4 % cinka v oksidni obliki.

#### SFALERIT V DOLOMITIZIRANEM GREBENSKEM APNENCU ZINKBLENDE DER RIFFVERERZUNGEN

Tabela 3

Tabelle 3

	Zn %	Fe %	Cd %	Ge gr/t	barva sfalerita
8. obzorje, odkop 4	65,89	1,58	0,36	49	rumenkasto siva
10. obzorje, odkop 26	66,89	0,23	0,43	105	rumenkasto rjava
11. obzorje, odkop 2	66,89	0,30	0,51	69	rumenkasto rjava

Del železa v prvem vzorcu pripada markazitu, ki ga zaradi drobnozrnatosti ni bilo mogoče popolnoma izločiti.

Posebnost grabenskih orudnenj so lijakasta rudna gnezda, v katerih se pojavljajo rudni ritmiti s tipično vertikalno razvrstitevijo zrn po velikosti.

Najdemo jih v glavnem v kontaktni coni med grebenskim dolomitom in brečo, tu in tam tudi sredi dolomitiziranega grebenskega apnanca. Ritmite z 11. obzorja je podrobnejše preiskal Schulz (1964). Ugotovil je, da gre za nehomogen paralelni skupek dolomita, galenita in glinasto bituminoznih vložkov, vzporeden s plastovitostjo. Osnova je drobnozrnati dolomit (velikost zrn do 0,01 mm) z vložki debelozrnatega dolomita (zrna okrog 0,1 mm). Vzporedno z lamelarnimi plastmi dolomita, debelimi komaj milimeter, sta se nakopičila tudi galenit in sfalerit. Schulz meni, da so bili rudni minerali delno odloženi kot mehanske, delno pa kot kemične usedline.

Iz analiz v tabeli 4 je vidna kemična sestava dveh različnih rudnih sedimentov, galenitno dolomitnega in sfaleritno dolomitnega.

#### KEMIČNA SESTAVA RUDNIH SEDIMENTOV CHEMISCHE ANALYSEN VON ZWEI ERZSEDIMENTEN

Tabela 4

Tabelle 4

	Pb %	Zn %	MgCa(CO <sub>3</sub> ) <sub>2</sub> %	CaCO <sub>3</sub> %	SiO <sub>2</sub> %	F %	Fe %	Cd %	Ge %
PbS sediment	34,69	2,02	39,12	11,49	5,35	0,09	0,22	—	—
ZnS sediment	0,18	7,60	31,14	21,39	33,30	0,02	0,68	0,06	sled

$\text{SiO}_2$  nastopa kot kremen, v drobnih idiomorfnih zrnih ali v glinenih primeseh. Vsebnost fluora je v primerjavi z drugimi orudenenji mežiškega rudnika sorazmerno visoka. Bolj pogosti so sfaleritno dolomitni sedimenti. Najbolj zanimiv je sfaleritni ritmit z 12. obzorja (tab. II, sl. 1). Tu je lijakasta vdolbina v krovnini dolomitiziranega grebenskega apnenga zapolnjena s pasovitim dolomitom. Vzporedno s tankimi plastmi dolomita se je nakopičil tudi sfalerit. Ta se pojavlja v komaj kak milimeter debelih plasteh z značilno vertikalno razvrstitevijo zrn po velikosti (plastovitost s postopno zrnavostjo — graded bedding). Z orientiranimi zbruski je ugotovljena reverzna lega plast. Rudna zrna so povečini idiomorfna in včasih tudi zaobljena. Galenitna zrna imajo navadno dolomitno jedro. Pogosto so nakopičena tudi vzdolž stilolitnih šivov (tab. IV, sl. 2).

Ponekod najdemo rudne sedimente kot odlomke v dolomitni in skrilavo dolomitni breči (tab. II, sl. 2 in tab. III, sl. 3). Najbolj zanimive pa so v brečasti coni rudne konkrekcije oziroma gomolji (tab. VIII, sl. 1 in 2). Jedro konkrekcije je dolomit, okrog njega je koncentrično odložen galenit, včasih pa galenit in sfalerit. Galenit je vedno obdan s tanko plastjo glinastega skrilavca. Medtem ko v grebenskem dolomitiziranem apnencu prevladujejo cinkova orudnenja z izredno malo svinca (povprečje je pod 0,5 %), so v brečasti coni bogata svinčeva orudnenja.

V vzhodnem delu rudišča so orudnenja precej drugačna. Tu nastopa ruda v primarnem apnenčastem dolomitu, ki vsebuje razen organske substance še primesi glinastega materiala in markazita. Bogatejše svinčeve cinkove koncentracije se pojavljajo skoraj vedno v bližini glinastega skrilavca. Rudna telesa so zelo nepravilna. Galenit prepleta v obliki zelo nepravilnih žilic prekristalizirano dolomitno osnovo (tab. III, sl. 2). Sfalerit je v glavnem rjav in bogat z germanijem. To je vidno iz analiz na tabeli 5.

#### ANALIZI RJAVAEGA SFALERITA IZ VZHODNEGA DELA RUDIŠČA ANALYSEN BRAUNER ZINKBLENDE AUS DEM ÖSTLICHEN TEIL DER LAGERSTÄTTE

Tabela 5

Tabelle 5

	Zn %	Fe %	Cd %	Ge gr/t
9. obzorje, odkop 53	65,71	2,28	0,13	252
9. obzorje, odkop 17	65,50	2,31	0,21	306

Kadmija je v teh sfaleritih precej manj kot v mežiških koncentratih  $\text{ZnS}$ , ki vsebujejo 0,3 do 0,5 % Cd. V obeh vzorcih iz tabele 3 nastopa želeso kot izomorfna zmes v sfaleritu, le majhen del je v obliki samostojnega markazita. V dolomitu vzhodnega dela grabenskega rudišča, ki je nedvomno nastal v evksinskom okolju, je mogoče več markazita in pirita, kot ga vsebuje dolomit, nastal z dolomitizacijo koralnega apnenga.

#### Nastanek rudišča

Večina grabenskih orudnenj nastopa v grebenskih kameninah, kjer najdemo tu in tam tudi orudene korale (tab. I, sl. 2). Rudna mineralizacija je bila tesno povezana z dolomitizacijo apnenga. Oblike rudnih teles,

tekture in strukture mineralnih agregatov večine teh orudenjenj govorijo v prid epigenetski rudišča. Epigenetska so tudi orudenjenja vzhodnega dela grabenskega rudišča. Tu nastopajo najbogatejše rudne koncentracije v bližini tektonskih kontaktov rudnosnega dolomita in glinastega skrilavca. Toda v grabenskem rudišču najdemo pogosto tudi dokaze, da je rudišče glede na prikamenino singenetsko. To so dobro ohranjene strukture sedimentnih rud (tab. II, sl. 1 in 3, tab. III, sl. 3, tab. IV, sl. 1—3, tab. V, sl. 1 in tab. VI, sl. 1), ki jih najdemo v krovnini dolomitiziranega koralnega apnenca.

Tudi rudne, v glavnem galenitne, konkrecije v glinastem skrilavcu ali dolomitu govorijo v prid singenetskemu nastanku rudišča. Po značilnem kontaktu med rudnosnim grebenskim dolomitom in brečo na 12. obzorju ter podobnih kontaktih na 11. in 10. obzorju si lahko razlagamo nastanek rudišča takole:

Na koralni apnenec se je odlagal rudni sediment. Ta je nastal v evksinskom okolju ob morebitnem hidrotermalnem dovajaju rudnih snovi. Zapolnil je tudi kotanje in vdolbine v koralnem apnencu. Na rudni sediment so se izmenoma odlagali glinasti in karbonatni sedimenti. Iz njih je zaradi drsenja po morskem dnu nastala breča. Drsenje je zajelo tudi nekonsolidirane rudne sedimente, ki so ostajali nedotaknjeni samo v kotanjah, kjer so do danes obdržali prvotno strukturo.

Na močno deformirane heterogene plasti in brečo se je sedimentiral dolomit z organsko substanco, piritom in glinastim materialom, verjetno pa tudi z galenitom in sfaleritom. V bližini glinastih vložkov so bile morda koncentracije obeh kovin večje, a so se potem med diagenezo kamenin in s kasnejšimi hidatogenimi procesi še bolj obogatile.

Cinkovo svinčeva orudenjenja v koralnem apnenu so lahko nastala samo na dva načina: hidrotermalno metasomatsko ali s premeščanjem rudnih snovi iz krovinskih sedimentov. Bolj verjetna je druga možnost, ker lahko z njo razlagamo nastanek rudišča v daljšem obdobju, tj. od diageneze kamenin do danes. Tako laže razlagamo različne faze mineralizacije, ki jih ugotavljamo z mikroskopskim ali makroskopskim opazovanjem orudenjenj, in anomalije v kemični sestavi. Železa in germanija je v sfaleritu teh orudenjenj precej manj kot v sfaleritu iz dolomita, ki je nastal v evksinskom okolju. To govori bolj za hidatogeni prenos snovi kot za hidrotermalno dovajanje raztopin. Iz hidrotermalnih raztopin nastanejo v splošnem sfaleriti, v katerih je več železa. Tudi potektonska orudenjenja in globinsko razporeditev cinka in svinca v rudišču laže razlagamo na ta način kot s potriadvno hidrotermalno fazo, kakor sem mislil pred leti (Štruc, 1965).

Menim, da je grabensko rudišče kljub epigenetskemu karakterju večine cinkovo svinčevih orudenjenj primarno singenetsko-sedimentno. Svojo prvotno obliko je spremenilo zaradi procesov v fazi diageneze in po njej.

# DIE Zn-Pb VERERZUNGEN DES GRABENREVIERES — EIN BESONDERER TYP DER LAGERSTÄTTE VON MEŽICA

Ivo Štruc

Mit 3 Textabbildungen und 9 Tafeln

Vortrag gehalten am 18. Mai 1967 beim I. Symposium über die Geologie  
der Karawanken in Črna na Koroškem

Die Zn-Pb Vererzungen des Grabenreviers erstrecken sich in Richtung Ost—West zwischen Ovčji vrh (955 m) und Ostrčnjak (812 m), 500 m südlich der Aufbereitung des Bergwerks Mežica in Žerjav. Die bisher bekannten Vererzungen zeigen eine Teufenerstreckung von 620 m. Das niedrigste Erz wurde mit Tiefbohrungen unterhalb des 13. Horizontes festgestellt.

Die Vererzungen treten vorwiegend in Riffgesteinen auf in denen besonders die Korale *Thecosmilia badiotica* Volz (bestimmt von G. K o l o s v a r y) sehr häufig vorkommt. Außerdem wurde ein reiches Vorkommen von Gastropodenschalenresten der Gattung *Chemnitzia rosthorni* gefunden.

Die Riffgesteine erstrecken sich auf eine Länge von 1,5 km und einer Breite von cca. 200 m, zwischen Mošenik bei Črna und dem Kavšak Graben in Jazbina. Im westlichen Teile ist diese Zone vorwiegend kalkig im östlichen dagegen sehr stark dolomitisiert. Gegen Norden und Osten hin grenzt die Riffzone an Breccien, oder an stark gestörte und zerquetschte schiefrige Tone (bzw. Tonschiefer) mit Dolomitlagen, die oft Anreicherungen von Gips und Anhydrit enthalten. Nördlich dieser Zone tritt vorwiegend bituminöser Dolomit auf, im Osten dagegen Dolomit der stellenweise einen höheren Gehalt an Markasit und Pyrit aufweist. Den Südrand des Grabenreviers bilden Raibler Tonschiefer die in einer tektonischen Zone zwischen Riffgesteinen ladinischen Alters und Hauptdolomit eingeengt sind.

Die Hauptvererzungen treten in Riffgesteinen auf. Einige, besonders reich an Blei, findet man in den submarinen Breccien, den Rest in Dolomiten die in einem euxinischen Milieu entstanden sind. Die Vererzungen unterscheiden sich nicht nur in Bezug auf das Nebengestein, sondern auch in ihrer mineralogischen und chemischen Zusammensetzung. In den Riffgesteinen die im allgemeinen, wo Vererzungen auftreten, dolomitisiert sind ( $\text{Ca Mg} (\text{CO}_3)_2$  85,06 %,  $\text{CaCO}_3$  14,14 %,  $\text{SiO}_2$  0,25 %), treten hauptsächlich Zinkvererzungen auf, die stellenweise etwas mehr Blei liefern. Die Zinkblende dieser Vererzungen ist gegenüber der Blende in den Gesteinen außerhalb des Riffes eisenarm (0,3 % gegenüber 2 bis 3 %). Gering ist auch der Germaniumgehalt im Vergleich zu der eisenreicherem Blende (50 bis 100 Gramm/Tonne gegenüber 250 bis 300 Gramm/Tonne  $\text{ZnS}$  Konzentrat mit 65 % Zn). Höher ist dagegen der Cadmiumgehalt (0,4 bis 0,5 % gegenüber 0,1 bis 0,2 %). Die Vererzungen in den Riffgesteinen zeigen in Beziehung zum Gehalt an Blei und Zink ein Ver-

hältnis 1:8 bis 1:12 zugunsten des Zinks, dagegen sind die Vererzungen außerhalb dieser Gesteine meist reicher an Blei. Den letzteren sind oft auch größere Mengen von Markasit und Pyrit beigelegt.

Fast alle Erzanreicherungen des Grabenreviers zeigen eindeutig, daß es sich um epigenetische Bildungen handelt. Die Riffvererzungen stehen im engen Zusammenhang mit sekundären Dolomitisationsprozessen. Sie zeigen in Beziehung auf die Verbreitungen von Blei gewisse Teufenschiede. Die Form der Erzkörper, das Gefüge der Erzaggregate fast aller Erzanreicherungen und die vererzten Korallen sprechen eindeutig für Verdrängungsvorgänge die aber entweder durch hydrothermale Prozesse oder durch Umlagerungen erklärt werden können. Die Vererzungen außerhalb der Riffgesteine sind meist an tektonische Schieferkontakte gebunden. Jedoch findet man außer den genannten Bildungen auch sehr schöne Beispiele sedimentärer Erze (Tafel II, Abb. 1, 3, Tafel III, Abb. 3, Tafel IV, Abb. 1—3, Tafel V, Abb. 1 und Tafel VI, Abb. 1), die schon von O. Schulz beschrieben worden sind. Diese Erze mit typischen Geopetalgefüge (graded bedding) treten im Hangenden der Riffgesteine unmittelbar unter den Breccien auf, die wahrscheinlich durch submarine Rutschungen entstanden sind. Innerhalb dieser Breccien, im Tonschiefer, wurden an mehreren Stellen Bleikonkretionen (Tafel VIII, Abb. 1 und 2) gefunden.

Es scheint, daß die Entstehung der primären Vererzungen zeitgemäß mit dem Absterben des Riffes und dem darauffolgenden Sedimentationszyklus übereinstimmt. Auf Grund charakteristischer Kontakte zwischen Erzdolomit und Breccie wie z. B. das Bild 1 (Tafel II) vom 12. Lauf zeigt (ähnliche wurden auch auf dem 11. Lauf gefunden), könnte man die Entstehung der Lagerstätte auf folgende Weise erklären.

Auf Riffkalke wurde ein Erzsediment abgelagert, hierauf eine heterogene Abfolge von Ton, Kalkstein und Dolomit mit Gips und Anhydrit. In dieser Sedimentserie mußte es zu submarinen Rutschungen gekommen sein, wodurch stellenweise mächtige Breccienbildungen entstanden sind. Hierauf wurden Dolomite mit verschieden mächtigen und sehr unregelmäßig auftretenden Tonlagen abgelagert. Das Erz war in diesen Gesteinen wahrscheinlich weitgehend verteilt. Ein höherer Metallgehalt kann in der Nähe der genannten Tonlagen anwesend gewesen sein, der dann während der Diagenese durch Sammelkristallisation und durch spätere hidatogene Umlagerungen immer mehr angereichert wurde. Die Riffvererzungen können auf zweierlei Arten entstanden sein entweder durch hydrothermale metasomatische Vorgänge, oder durch Umlagerungen bei welchen der Blei-Zink- und Magnesiumgehalt von überlagernden Sedimenten herstammt. Da die Zinkblende sehr eisenarm ist, ist es wahrscheinlicher, daß es sich bei den Riffvererzungen um umgelagerte Vererzungen handelt, da die hydrothermale Blende ja meistens einen höheren Eisengehalt aufweist und nicht nur 0,3 % wie die Blende der Riffvererzungen.

Die Zn-Pb Lagerstätte Graben wird vom Autor trotz des epigenetischen Charakters der meisten Vererzungen als syngenetisch-sedimentär

TABLA I

TAFEL I

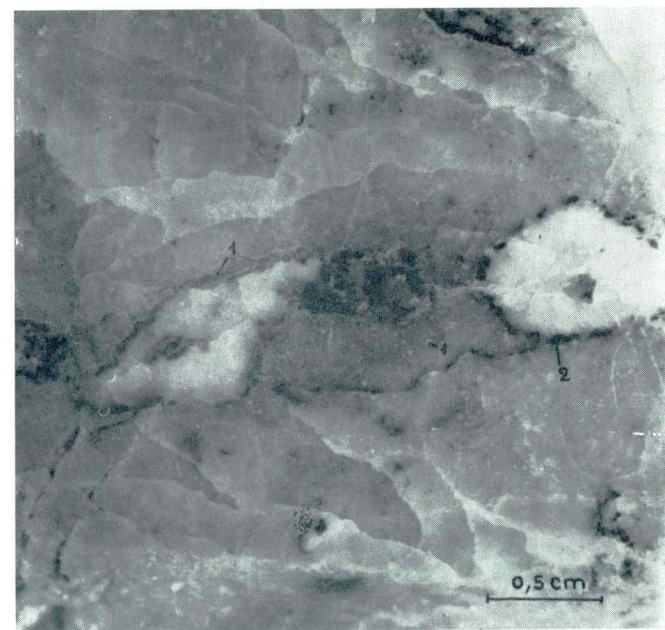
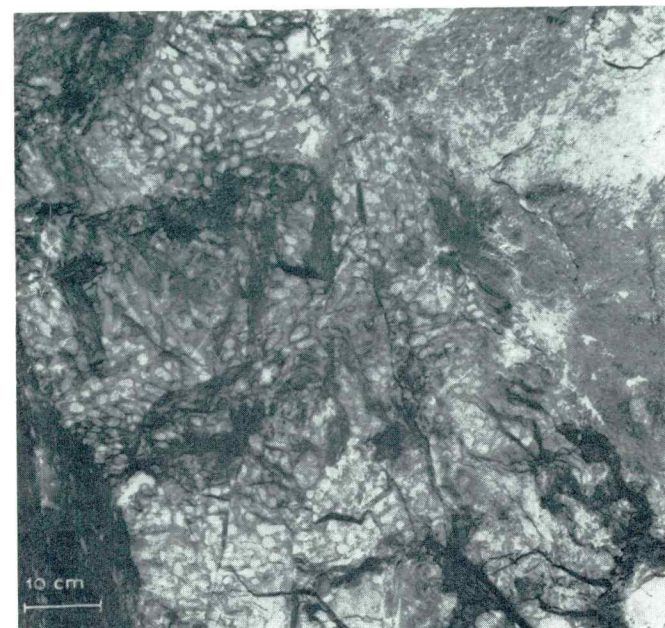


TABLA II

TAFEL II



TABLA III

TAFEL III

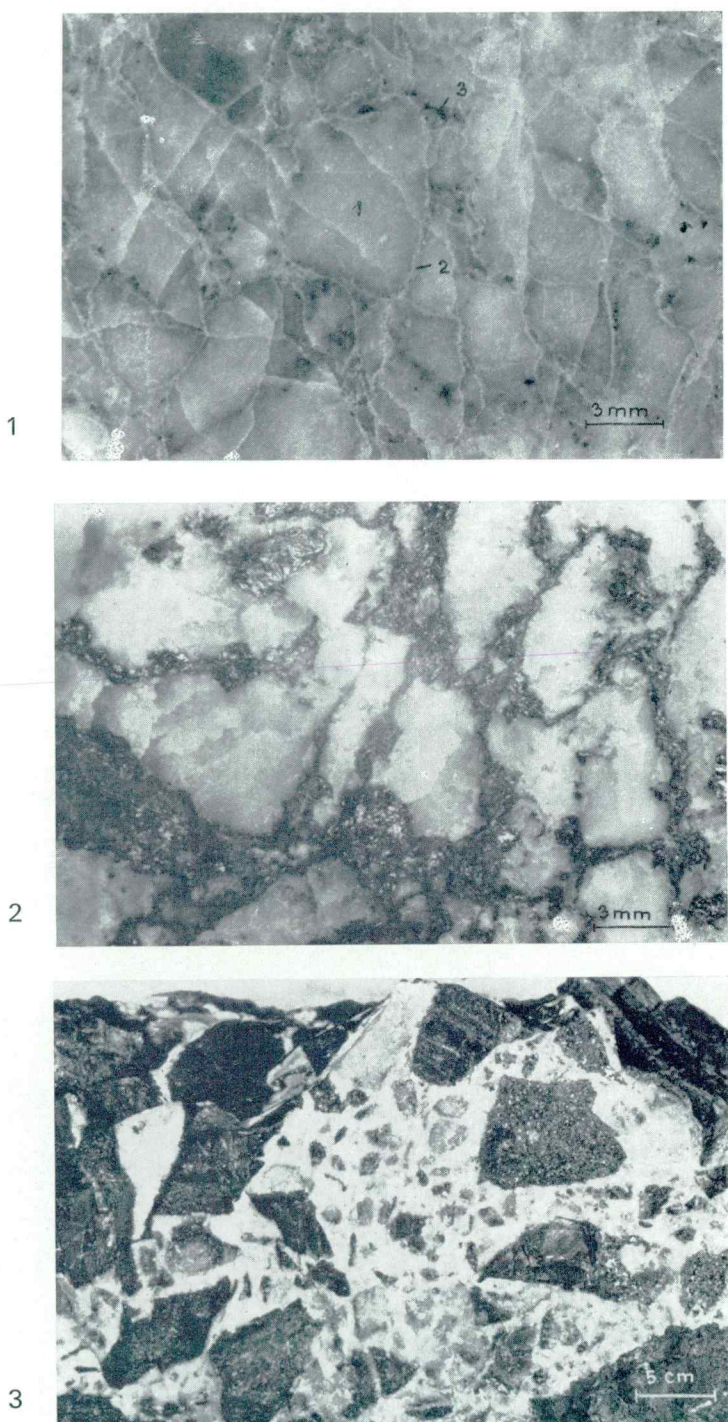
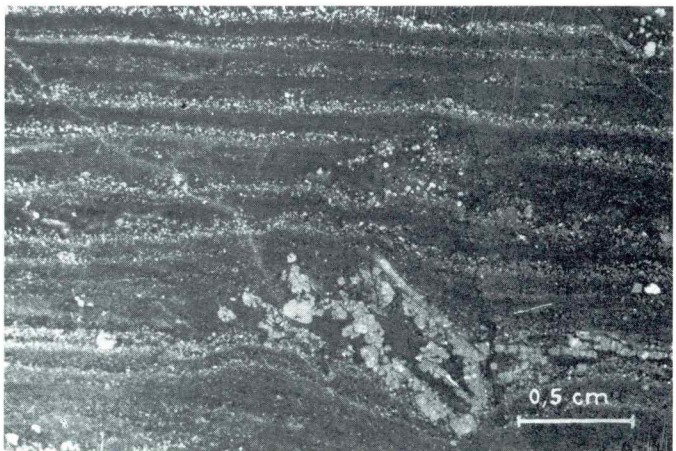
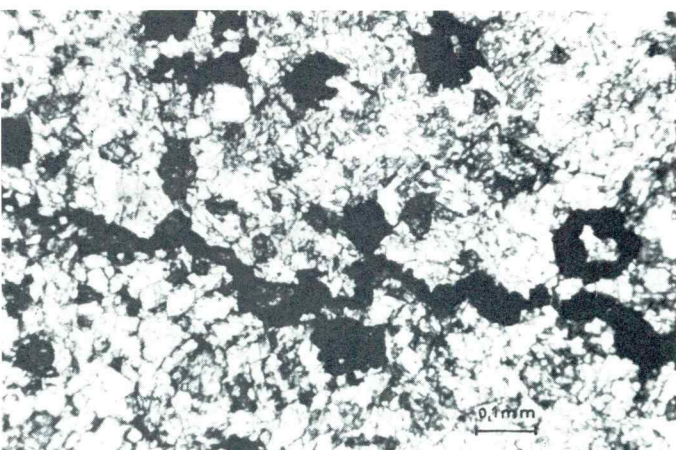


TABLA IV

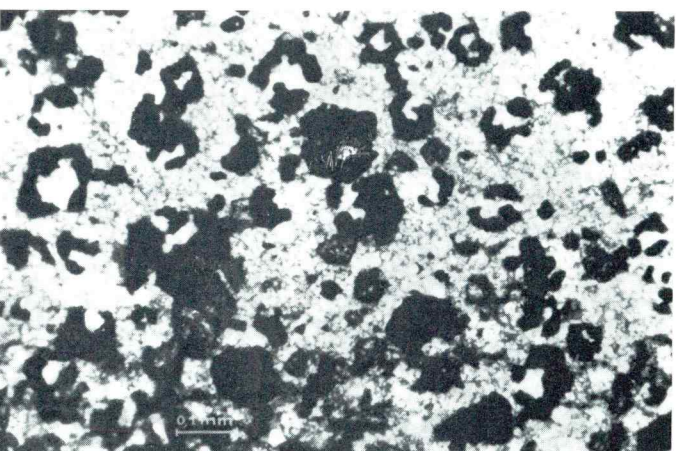
TAFEL IV



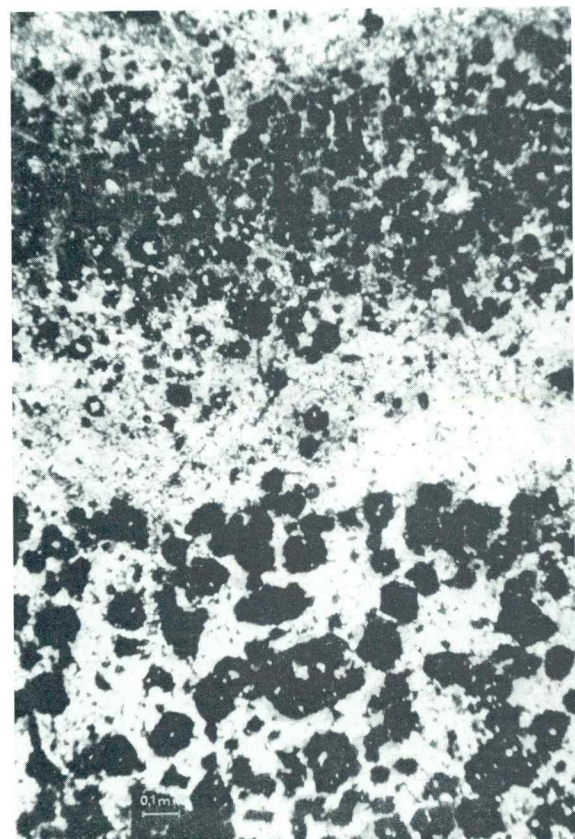
1



2



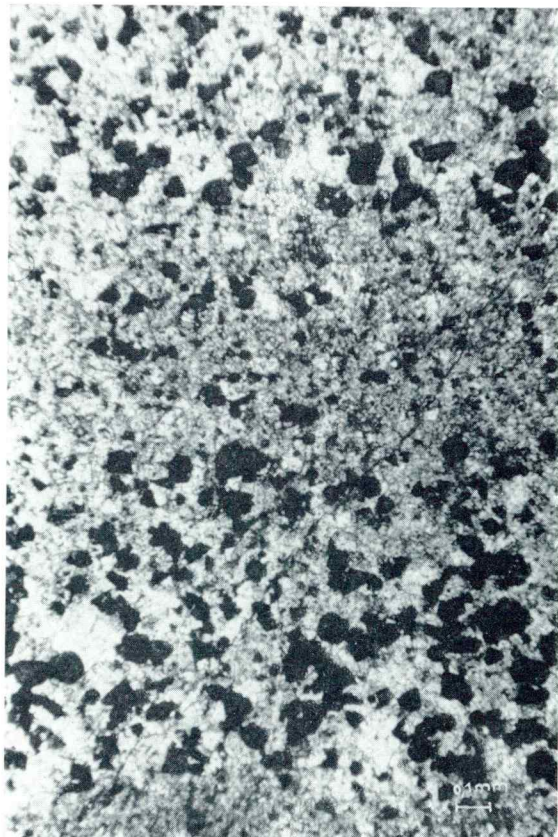
3



1

TABLA VI

TAFEL VI



1

TABLA VII

TAFEL VII

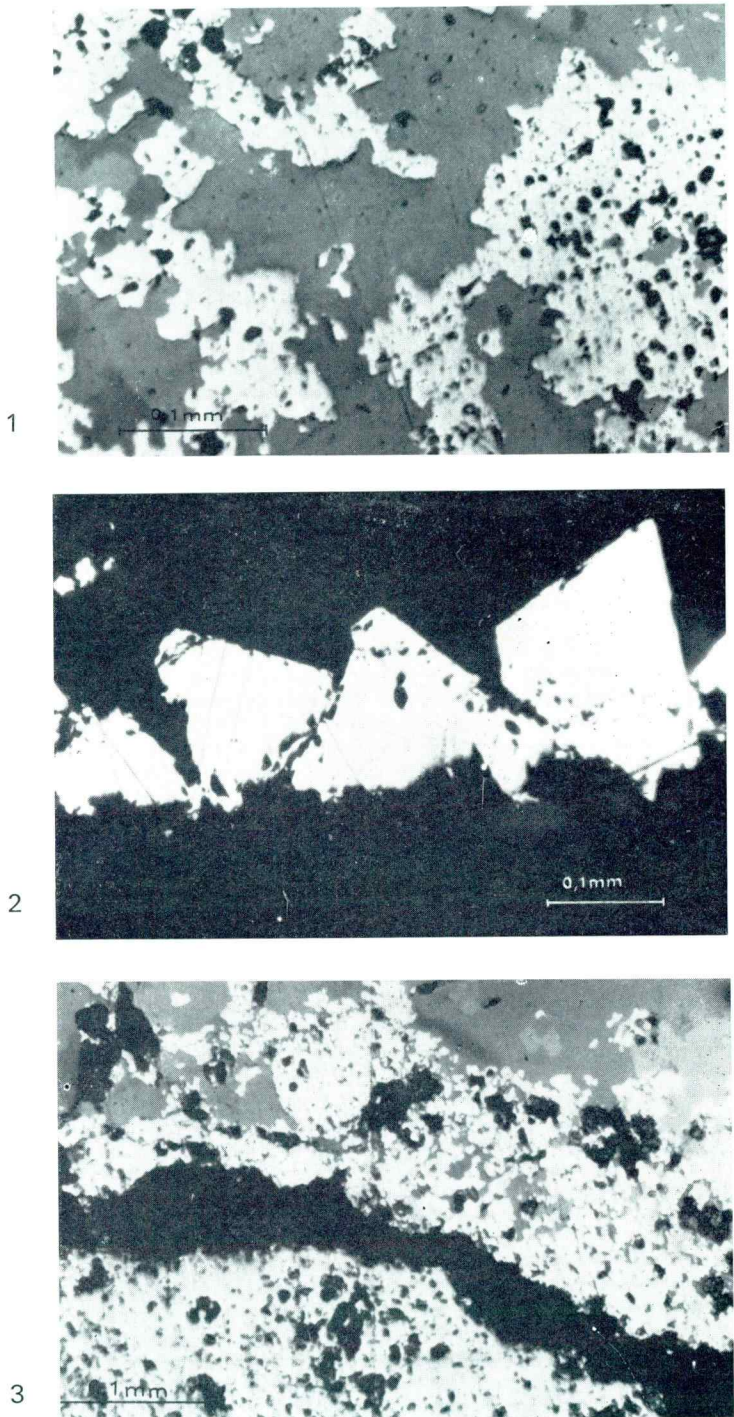
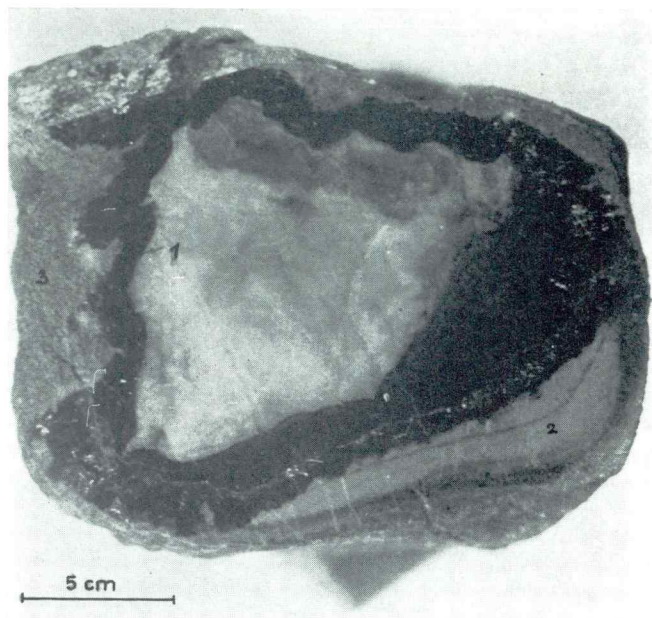
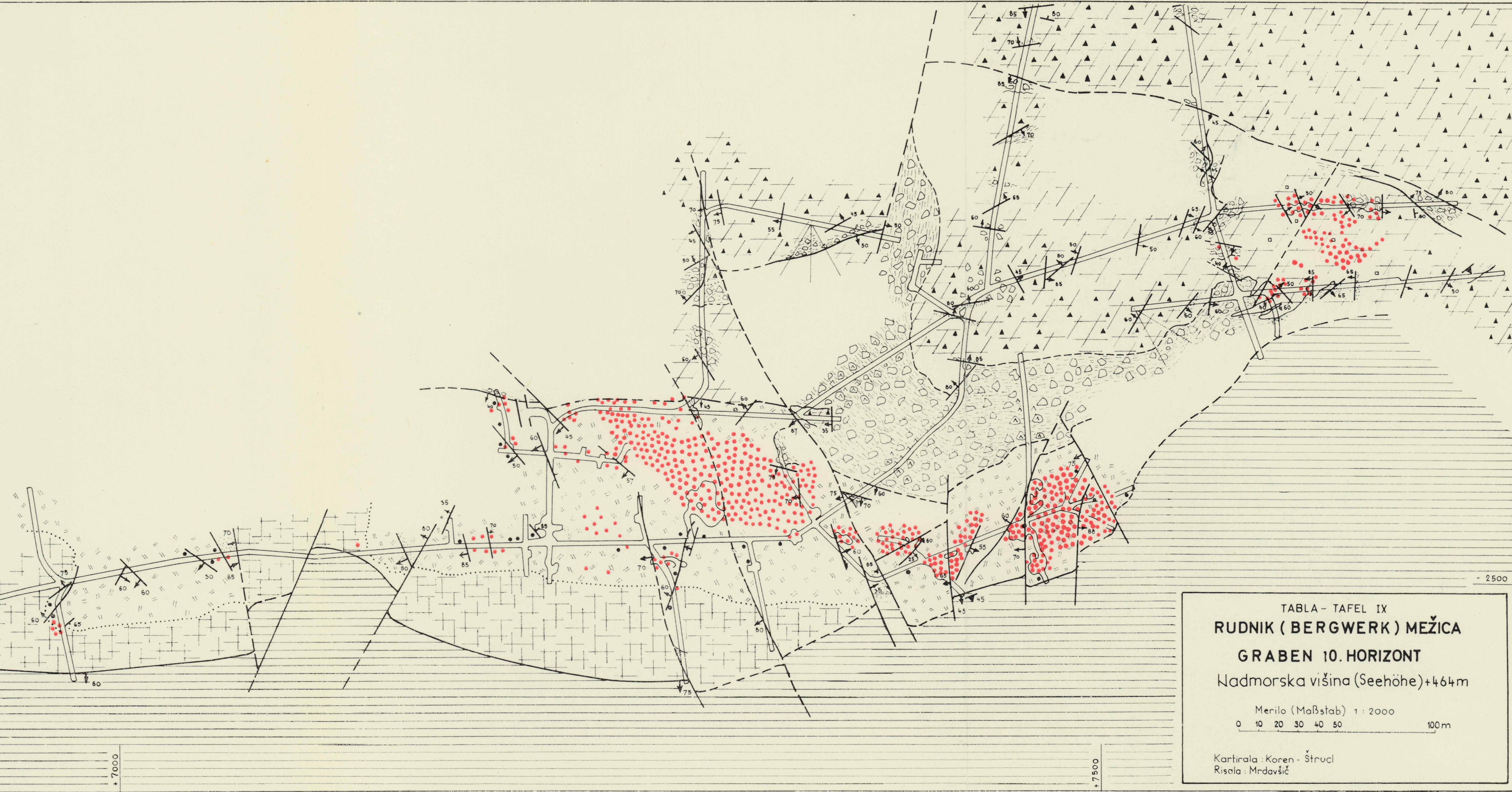
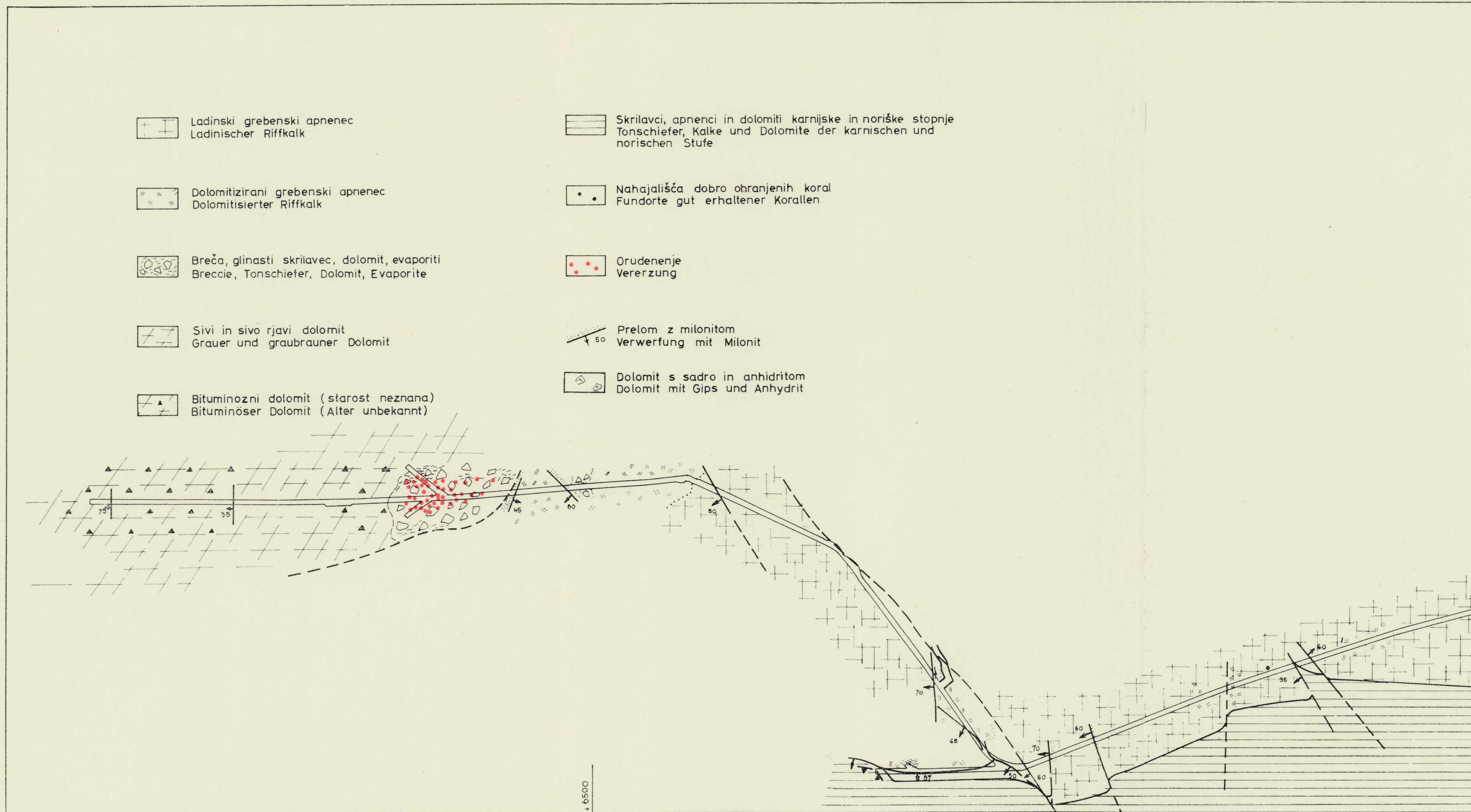


TABLA VIII

TAFEL VIII





mit eventueller hydrothermaler Stoffzufuhr (Zuführkanäle noch unbekannt) erklärt, wobei es den epigenetischen Charakter während der Diagenese und durch spätere hydatogene Umlagerungen bekommen hat.

#### LITERATURA

- Grafenauer, S. 1959, Redki svinčevi oksidi v Mežici. Geologija 5, 56—62, Ljubljana.
- Grobelšek, E. 1967, Poročilo o mikroskopskih preiskavah kamenin v revirju Graben Mežica.
- Schulz, O. Mechanische Erzanlagerungsgefüge in den Pb-Zn-Lagerstätten Mežica und Cave del Predil, Berg und Hüttenmännische Monatshefte, 109 Heft 2, 385—389.
- Štruc, I. 1965, Geološke značilnosti mežiških rudišč in njih okolice. 300 let mežiških rudnikov, 115—139, Mežica.
- Štruc, I. 1965, Nekaj misli o nastanku karavanških svinčeveo-cinkovih rudišč s posebnim ozirom na rudišče Mežica. Rudarsko-metalurški zbornik 2, 155—163, Ljubljana.
- Zorc, A. 1955, Rudarsko geološka karakteristika rudnika Mežica. Geologija 3, 24—80, Ljubljana.

#### Besedilo k slikam

#### Tafelerklärung

##### TABLA I — TAFEL I

- Sl. 1. Grebenski apnenec s koralo *Thecosmilia badiotica* Volz. Graben (Balos) 8. obzorje.  
Abb. 1. Riffkalk mit der Koralle *Thecosmilia badiotica* Volz. Graben (Balos) 8. Horizont.

- Sl. 2. Korala orudena s sfaleritom 1 in markazitom 2. Graben, 9. obzorje.  
Abb. 2. Mit Zinkblende 1 und Markasit 2 vererzte Koralle. Graben, 9. Horizont.

##### TABLA II — TAFEL II

- Sl. 1. Ritmit sfalerita in dolomita na kontaktu med grebenskim dolomitiziranim apnencem (desno) in brečasto cono (levo). Graben, 12. obzorje.  
Abb. 1. Erzrhytm mit Zinkblende und Dolomit im Hangenden des Riffkalkes (rechts) die mit einer Breccien-Zone (links) begrenzt wird. Graben, 12. Horizont.  
Sl. 2. Rudni odlomki (v glavnem z galenitom) v breči slike 1. Graben, 12. obzorje.  
Abb. 2. Dieselbe Breccie wie auf dem Bild 1 mit Erzbruchstücken und Knollen die vorwiegend aus Bleiglanz bestehen. Graben, 12. Horizont.

- Sl. 3. Detajl rudnega ritmita slike 1. Graben, 12. obzorje.

- Abb. 3 Erzrhytm von Abb. 1.

##### TABLA III — TAFEL III

- Sl. 1. Značilno orudjenje s sfaleritom v dolomitiziranem grebenskem apnenu. 1 dolomitizirani apnenec, 2 žilica s sfaleritom, 3 markazit. Graben, 8. obzorje.  
Abb. 1. Typische Zinkvererzung im dolomitisierten Riffgestein. 1 Dolomit, 2 Zinkblende, 3 Markasit. Graben, 8. Horizont.
- Sl. 2. Orudjenje z galenitom, kakršno nastopa običajno v prekristaliziranem dolomitu vzhodnega dela rudišča. Graben, 9. obzorje, odkop 37.  
Abb. 2. Karakteristische Bleiglanzvererzung typisch für den östlichen Teil des Graben-Reviers, 9. Horizont, Abbau 37.
- Sl. 3. Rudna breča z odlomki rudnih ritmitov dolomita in galenita. Graben, 11. obzorje pri vpadniku.  
Abb. 3. Erzbreccie mit Bruchstücken von Erzrhytmiten (Dolomit und Bleiglanz). Graben, 11. Horizont.

#### TABLA IV — TAFEL IV

Sl. 1. Rudni ritmit z galenitom in dolomitom. Graben, 11. obzorje.  
Abb. 1. Erzrhytm mit Bleiglanz und Dolomit. Graben, 11. Horizont.

Sl. 2. Stilolitni šiv oruden z galenitom; detalj slike 1.

Abb. 2. Mit Bleiglanz vererztes Styolith; Detail von Abb. 1.

Sl. 3. Galenitna zrna s karbonatnim jedrom zelo značilna za grabensko sedimentno svinčevu rudo. Detajl slike 1.

Abb. 3. Für das sedimentäre Bleierz des Grabenreviers sehr karakteristische Bleiglanzkristalle mit einem Karbonatkern. Detail von Abb. 1.

#### TABLA V — TAFEL V

Sl. 1. Svinčeva sedimentna ruda. Graben, 11. obzorje.

Abb. 1. Sedimentäres Bleierz. Graben, 11. Horizont.

#### TABLA VI — TAFEL VI

Sl. 1. Cinkova sedimentna ruda. Graben, 12. obzorje.

Abb. 1. Sedimentäres Zinkerz. Graben, 12. Horizont.

#### TABLA VII — TAFEL VII

Sl. 1. Sfalerit v dolomitiziranem grebenskem apnencu. Globoka zraščenost z jabolino povzroča flotaciji precejšnje težave. Graben, 8. obzorje.

Abb. 1. Zinkblende im dolomitisierten Riffkalk. Starke Verwachsungen mit dem Nebengestein verursachen in der Flotation Schwierigkeiten.

Sl. 2. Idiomorfna zrna sfalerita, razvrščena v obliki tankih rudnih žilic v dolomitiziranem grebenskem apnencu, ki ga kaže sl. 1 na tabli III. Graben, 8. obzorje.

Abb. 2. Idiomorphe Kristalle der Zinkblende bilden sehr häufig ein unregelmäßiges Netz von dünnen Erzadern wie es die Tafel III, Abb. 1 zeigt. Graben, 8. Horizont.

Sl. 3. Globoko zraščen sfalerit v dolomitiziranem grebenskem apnencu. Graben, 9. obzorje.

Abb. 3. Stark verwachsene Zinkblende im dolomitisierten Riffkalk. Graben, 9. Horizont.

#### TABLA VIII — TAFEL VIII

Sl. 1. Gomoljasta svinčeva ruda v skrilavo dolomitni kamenini. Graben, 11. obzorje.

Abb. 1. Knollenerz im schiefrigen dolomitischen Gestein. Graben, 11. Horizont.

Sl. 2. Gomolj z galenitom 1 in sfaleritom 2 okrog karbonatnega jedra. Zunanji ovoj je iz glinastega skrilavca 3. Graben, 11. obzorje.

Abb. 2. Erzknolle mit Bleiglanz 1 und Zinkblende 2 um einen Karbonatkern. Die äussere Hülle besteht aus Tonschiefer 3. Graben, 11. Horizont.